

軟弱地盤-杭基礎-構造物系の動的相互作用に関する研究

京都大学 正員 山田善一
岡山大学 正員 竹宮宏和
日本鋼管 正員 片桐一成

1. まえがき 本論文の目的は以下の2点である。1つは層状地盤における杭-地盤系の解析である。地盤を連続体として解析する方法は地盤が均一であるといふ制約をうけ、このことが実際の地盤に適応することを困難にしている。そこで伝達マトリックスを用いて層状地盤中の杭の解析を試みた。今1つは、杭基礎に等価な周波数依存のスティフネス、ダンピングが動的相互作用にいかなる影響を与えるかを調べた。

2. 杭と地盤の解析 深さ方向に地盤反力が変化する三次元波動方程式による解析と、深さ方向に地盤反力が変化しない平面歪解による解析を以下に示す。また群杭を考えるため杭の水平振動と鉛直振動の2つを考える。

1) 三次元波動方程式による解析 地盤を粘弾性体と仮定すると、木平振動について、 ν 層の水平地盤反力は $\sum_{j=1}^{\infty} d_{ij} U_j Z_{ij}(z)$ (1) と表わされる。 d_{ij} は地盤の*i*次モード $Z_{ij}(z)$ に対する反力係数であり、その詳細については文献1)を参照されたい。ここで $Z_{ij}(z)$ は(2)式を満たしている。

$$\partial_z^2 Z_{ij}(z)/\partial z^2 + h_i^2 Z_{ij}(z) = 0 \quad (2) \quad h_i \text{ は層ごとの伝達マトリックス } [T_f]$$

$[T_f] = \begin{bmatrix} \cosh h_i z & -\frac{1}{h_i} \sin h_i z \\ \sin h_i z & \cosh h_i z \end{bmatrix} \quad (3)$ を使って基盤での境界条件により求められる。また $Z_{ij}(z)$ は正規化したものを探しておく。杭の運動方程式は杭自身の減衰が小さいものとすると、 $M_p \ddot{U}(z,t) + C_p \dot{U}(z,t) + E_p I^2 U(z,t) = -P(z,t) \quad (4)$ となり調和振動を仮定すると(4)の解は、 $\lambda_j = \sqrt{M_p \omega^2 / E_p I}$ を使って齊次解+特解の形で、次式のよう求められる。

$$U(z) = (\sin \lambda_j z - Y_{\sum i} f_{ij} Z_{ij}(z))A + (\cos \lambda_j z - Y_{\sum i} f_{ij} Z_{ij}(z))B + (\sinh \lambda_j z - Y_{\sum i} f_{ij} Z_{ij}(z))C + (\cosh \lambda_j z - Y_{\sum i} f_{ij} Z_{ij}(z)) \quad (5)$$

ここで f_{ij} は三角関数を $Z_{ij}(z)$ に展開するための係数であり、この際、先の正規化の性質を用いており、(5)式より杭のたわみ角 $\phi(z)$ モーメント $M(z)$ セん断力 $S(z)$ は次式のようになる。

$$\{U(z) \ \psi(z) H_p \ M(z) H_p^3 / E_p \ S(z) H_p^3 / E_p\}^T = \{S(z)\} \{A \ B \ C \ D\} \quad (6)$$

$$\begin{aligned} S(z) = & \begin{bmatrix} \sinh \lambda_j z - Y_{\sum i} f_{ij} Z_{ij}(z) & \cos \lambda_j z - Y_{\sum i} f_{ij} Z_{ij}(z) & \sinh \lambda_j z - Y_{\sum i} f_{ij} Z_{ij}(z) & \cosh \lambda_j z - Y_{\sum i} f_{ij} Z_{ij}(z) \\ \lambda_j^2 H_p^2 \cosh \lambda_j z - H_p^2 Y_{\sum i} f_{ij} Z_{ij}(z) & -Y_{\sum i} f_{ij} \lambda_j^2 \sinh \lambda_j z - H_p^2 Y_{\sum i} f_{ij} Z_{ij}(z) & \lambda_j^2 H_p^2 \cosh \lambda_j z - H_p^2 Y_{\sum i} f_{ij} Z_{ij}(z) & \lambda_j^2 H_p^2 \sinh \lambda_j z - Y_{\sum i} f_{ij} Z_{ij}(z) \\ \lambda_j^2 H_p^2 \sinh \lambda_j z - H_p^2 Y_{\sum i} f_{ij} Z_{ij}(z) & -Y_{\sum i} f_{ij} \lambda_j^2 \cosh \lambda_j z - H_p^2 Y_{\sum i} f_{ij} Z_{ij}(z) & \lambda_j^2 H_p^2 \sinh \lambda_j z - Y_{\sum i} f_{ij} Z_{ij}(z) & \lambda_j^2 H_p^2 \cosh \lambda_j z - Y_{\sum i} f_{ij} Z_{ij}(z) \\ -\lambda_j^2 H_p^2 \cosh \lambda_j z - H_p^2 Y_{\sum i} f_{ij} Z_{ij}(z) & Y_{\sum i} f_{ij} \lambda_j^2 \sinh \lambda_j z - H_p^2 Y_{\sum i} f_{ij} Z_{ij}(z) & \lambda_j^2 H_p^2 \cosh \lambda_j z - H_p^2 Y_{\sum i} f_{ij} Z_{ij}(z) & \lambda_j^2 H_p^2 \sinh \lambda_j z - Y_{\sum i} f_{ij} Z_{ij}(z) \end{bmatrix} \quad (7) \end{aligned}$$

したがって杭の ν 層中の要素の伝達マトリックス $[T_f]$ は $\lambda_j = H_p / \lambda_0$ とおくと次式で表わされる。

$$[T_f] = \begin{bmatrix} 1 & 0 \\ \frac{H_p}{\lambda_0} & 1 \end{bmatrix} [S(z)] \left[\frac{H_p}{\lambda_0} \right]^{-1} \begin{bmatrix} 1 & 0 \\ 0 & \frac{H_p}{\lambda_0} \end{bmatrix} \quad (8) \quad \text{また } [T^n] = [T_1][T_2] \cdots [T_f] \cdots [T_n] \text{ とおくと } \nu \text{ 層の地盤中の杭}$$

の荷重と杭端の変位と応力の関係は、次式のように求まる。

$$\{U_0 \ \psi_0 H_p \ M_0 H_p^3 / E_p \ S_0 H_p^3 / E_p\}^T = [T^n] \{U_n \ \psi_n H_p \ M_n H_p^3 / E_p \ S_n H_p^3 / E_p\}^T \quad (9)$$

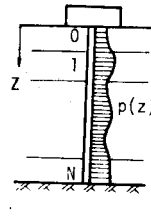


Fig. 1

(9)式で杭端の境界条件を決めることにより、(9)式は変形されて、次式のようになる。

$$\begin{Bmatrix} M_0 H_0^2 / E_I \\ Q_0 H_0^3 / E_I \end{Bmatrix} = \begin{Bmatrix} F \\ F' \end{Bmatrix} \begin{Bmatrix} U_0 \\ H_0 U_0 \end{Bmatrix} + \begin{Bmatrix} F' \\ F \end{Bmatrix} U_n \quad \dots \quad (10)$$

ここで、マトリックス $[F]$ の要素の実部と虚部がそれ

を杭基礎に等価なスティフネスとダンピングを表している。鉛直振動についても同様にして伝達マトリックスを用いて定式化できる。

2) 平面歪解による解析 1)の解析法に3つの仮定を導入して簡単な形で解析を考える。
 ①地盤は無限遠方に続く無限に薄い層とする。
 ②地盤は慣性と遠散減衰のみをもつ内部減衰は無視する。
 ③地盤反力は1層中では変化しない。水平振動において Novak は地盤反力を平面歪解より求め、 $G_f(S_{ufj} + iS_{vfj})U(z, z)dz$ と表わした。杭の運動方程式の解は、(5)式で者次解のみとなる。ただし $\lambda_j = \sqrt{\frac{1}{E_I} [M_p \omega^2 - G_f S_{ufj} - iG_f S_{vfj}]}$ である。地盤の影響をすべて λ_j の中に入れて1)に注目したい。以下は1)と同様の手法で伝達マトリックスを作り、スティフネスとダンピングを求める。鉛直振動についても全く同様である。

3. 全体系モデル 上部構造物の対象としては高橋脚を考えた。Fig 1のような杭頭にフーチングをつけたモデルと、高橋脚をマス質点でおきかえたモデルの2つを考えた。

4. 計算結果および考察 Fig 2, 3 は 1), 2) の兩解析法による杭基礎に等価なスティフネスとダンピングの比較である。スティフネスのかちこんでいる所が地盤の固有振動数を示している。このため杭長 30 m の 30 本の群杭を持つフーチングを加振すると Fig 4, 5 のように地盤の固有振動数のところでピークを生じている。したがってマス質点系の上部構造の固有振動数がこの値と一緒にすると応答値が大きくなつた。Fig 6 は現場実験と、2)の解法による多層地盤モデルの解析との比較である。また Fig 7 は、多層モデルで地盤の剛性を順々に高めていった時のスティフネスの値であり、上層の影響が大きいことを示している。

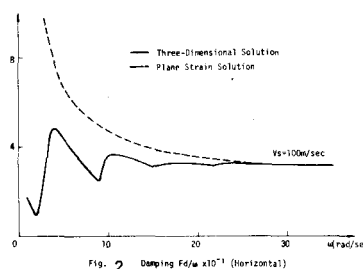


Fig. 2 Damping $F_d/w \times 10^{-3}$ (Horizontal)

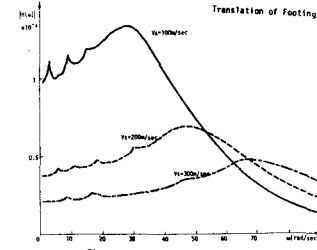


Fig. 4 Frequency Response Curve

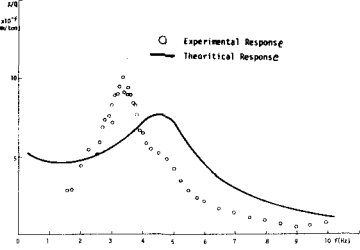


Fig. 6 Frequency Response Curve of footing

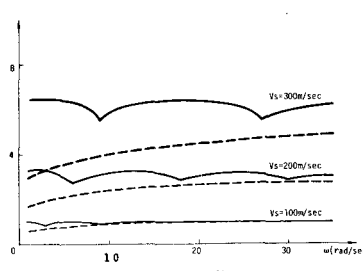


Fig. 3 Stiffness $F_s \times 10^{-3}$ (Horizontal)

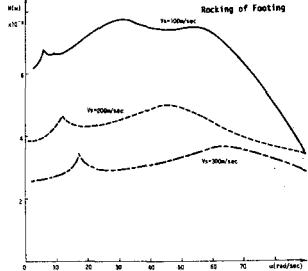


Fig. 5 Frequency Response Curve

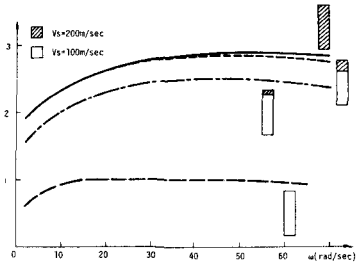


Fig. 7 Stiffness $F_s \times 10^{-3}$ (Horizontal)

Reference. 1) Nogami, T., and Novak, M., "Resistance of Soil to a Horizontal Vibration", Earthquake Engineering and Structural Dynamics, Vol. 5, 1977, pp249-261.